

CG020 Genomika

Přednáška 5

Genová exprese a chemická genetika

Jan Hejátko

Funkční genomika a proteomika rostlin,

Mendelovo centrum genomiky a proteomiky rostlin,

Středoevropský technologický institut (CEITEC), Masarykova univerzita, Brno

hejatko@sci.muni.cz, www.ceitec.muni.cz



INVESTICE DO ROZVOJE VZDĚLÁVÁNÍ

Tato prezentace je spolufinancována
Evropským sociálním fondem
a státním rozpočtem České republiky

Genomika 05

▪ Zdrojová literatura

- Karaïskos N, Wahle P, Alles J, Boltengagen A, Ayoub S, Kipar C, Kocks C, Rajewsky N, Zinzen RP (2017) The *Drosophila* embryo at single-cell transcriptome resolution. *Science* 358: 194-199
- Lecuyer, E., Yoshida, H., Parthasarathy, N., Alm, C., Babak, T., Cerovina, T., Hughes, T.R., Tomancak, P., and Krause, H.M. (2007). Global analysis of mRNA localization reveals a prominent role in organizing cellular architecture and function. *Cell* 131, 174-187.
- Nevo-Dinur, K., Nussbaum-Shochat, A., Ben-Yehuda, S., and Amster-Choder, O. (2011). Translation-independent localization of mRNA in *E. coli*. *Science* 331, 1081-1084
- Schonberger, J., Hammes, U.Z., and Dresselhaus, T. (2012). In vivo visualization of RNA in plants cells using the lambdaN(22) system and a GATEWAY-compatible vector series for candidate RNAs. *The Plant journal : for cell and molecular biology* 71, 173-181.
- Surpin, M. and Raikhel, N. (2004) Traffic jams affect plant development and signal transduction. *Nature Reviews/Molecular Cell Biology* 5,100-10
- Zouhar, J., Hicks, G.R. and Raikhel, N.V. (2004) Sorting inhibitors (Sortins): Chemical compounds to study vacuolar sorting in *Arabidopsis*. *Proceedings of the National Academy of Sciences of the U.S.A.*, 101, 9497–9501



INVESTICE DO VÝROBY / VÝDĚLÁVÁNÍ
finančována z evropského sociálního fondu
a statním rozpočtem České republiky

Osnova

- Metody analýzy genové exprese
 - Kvalitativní analýza exprese genů
 - Příprava transkripční fúze promotoru analyzovaného genu s reporterovým genem (gen zpravodaj)
 - Příprava translační fúze kódující oblasti analyzovaného genu s reporterovým genem
 - Využití dostupných dat ve veřejných databázích
 - Tkáňově a buněčně specifická analýza genové exprese
 - Kvantitativní analýza exprese
 - DNA a proteinové čipy
 - Next gen transkripční profilování
- Regulace genové exprese v identifikaci funkce genů

přístupy získané funkce

 - T-DNA aktivační mutageneze
 - Ektopická exprese a systémy regulovatelné genové exprese
- Chemická genetika



Operativní program
pro konkurenčnost a
zaměstnanost



Tato prezentace je spolufinancována
Evropským sociálním fondem
a státním rozpočtem České republiky

Osnova

- Metody analýzy genové exprese
 - Kvalitativní analýza exprese genů
 - Příprava transkripční fúze promotoru analyzovaného genu s reporterovým genem (gen zpravodaj)



MINISTERSTVO ŠKOLSTVÍ,
MLÁDEŽE A TĚLOVÝCHOVY



OP Vzdělávání
pro konkurenčnost

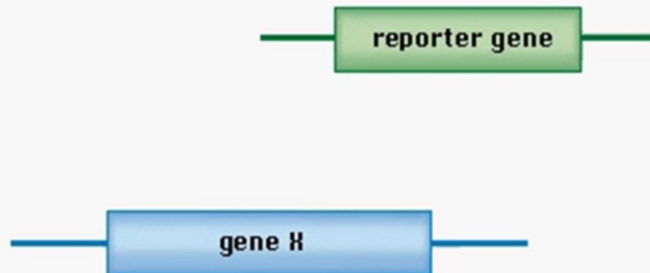


MASARYKIANA
UNIVERSITAS
BRUNNENS

INVESTICE DO ROZVOJE VZDĚLÁVÁNÍ

Tato prezentace je spolufinancována
Evropským sociálním fondem
a státním rozpočtem České republiky

Příprava rekombinantní DNA



MINISTERSTVO Školství,
mládeže a tělovýchovy

OP Vašem souboru
pro konkurenčnost



Vzdělávání

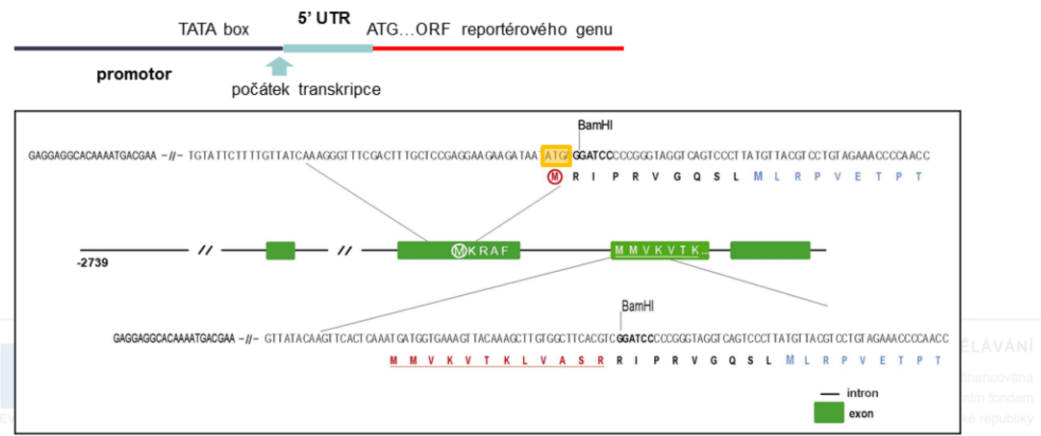
je spolufinancováno

Evropským sociálním fondem
a státním rozpočtem České republiky

Genová exprese

□ Transkripční fúze s promotorovou oblastí

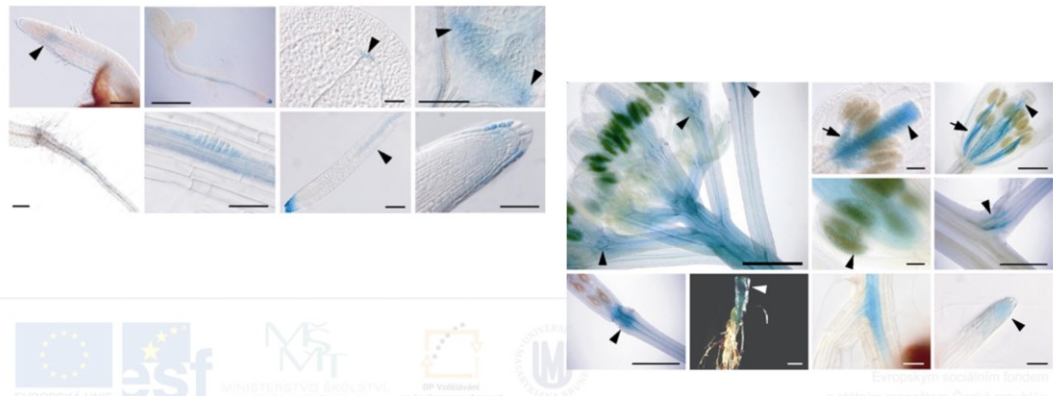
- Identifikace a klonování promotorové oblasti genu
- příprava rekombinantní DNA nesoucí promotor a reportérový gen (uidA, GFP)



Genová exprese

□ Transkripční fúze s promotorovou oblastí

- Identifikace a klonování promotorové oblasti genu
- příprava rekombinantní DNA nesoucí promotor a reportérový gen (uidA, GFP)
- příprava transgenních organismů nesoucích tuto rekombinantní DNA a jejich histologická analýza



ESF

EVROPSKÁ UNIE



MINISTERSTVO Školství,
mládeže a tělovýchovy



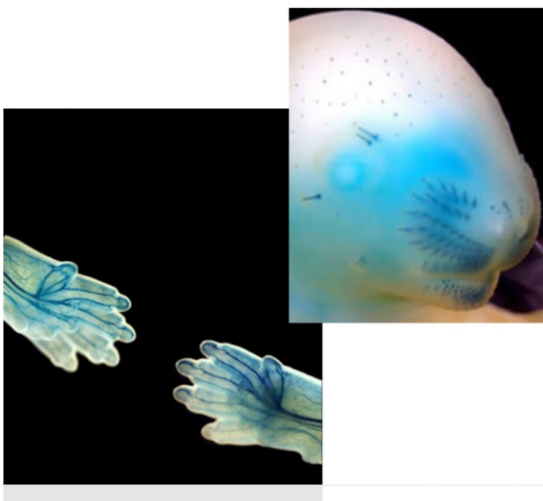
DPV Výzkum
pro konkurenčnost



MASARYKOVY
UNIVERSITY

Evropský sociální fond
a státním rozpočtem České republiky

GUS reporter in mouse embryos



LacZ activity marks the cells
of the developing myotome.

ZDĚLÁVÁNÍ

Tato prezentace je spolufinancována
Evropským sociálním fondem
a státním rozpočtem České republiky



Osnova

- Metody analýzy genové exprese
 - Kvalitativní analýza exprese genů
 - Příprava transkripční fúze promotoru analyzovaného genu s reporterovým genem (gen zpravodaj)
 - Příprava translační fúze kódující oblasti analyzovaného genu s reporterovým genem



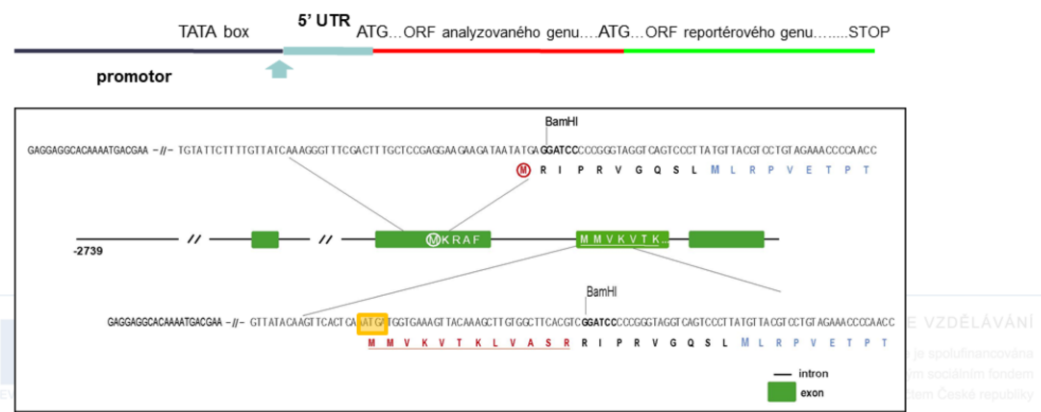
INVESTICE DO ROZVOJE VZDĚLÁVÁNÍ

Tato prezentace je spolufinancována
Evropským sociálním fondem
a státním rozpočtem České republiky

Genová exprese

□ Translační fúze kódující oblasti analyzovaného genu s reportérovým genem

- Identifikace a klonování promotorové a kódující oblasti analyzovaného genu
- příprava rekombinantní DNA nesoucí promotor a kódující sekvenci studovaného genu ve fúzi s reportérovým genem (uidA, GFP)

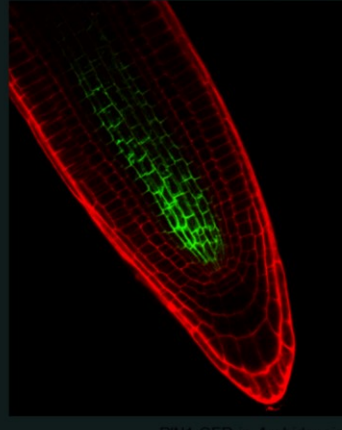


E VZDĚLÁVÁNÍ
je spolufinancováno
z sociálního fondu
řízení České republiky

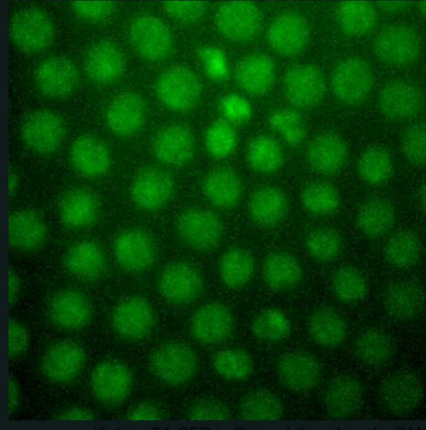
Genová exprese

□ Translační fúze kódující oblasti analyzovaného genu s repotérovým genem

- příprava transgenních organismů nesoucích tuto rekombinantní DNA a jejich histologická analýza
- oproti transkripční fúzi umožňuje analyzovat např. intracelulární lokalizaci genového produktu (proteinu) nebo jeho dynamiku



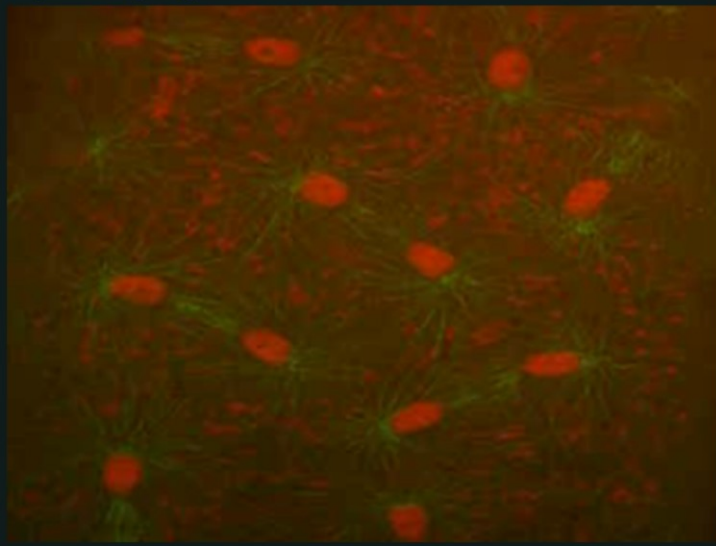
PIN1-GFP in *Arabidopsis*



Histone 2A-GFP in *Drosophila* embryo by PAM

Genová exprese

- Translační fúze kódující oblasti analyzovaného genu s repotérovým genem



Osnova

- Metody analýzy genové exprese
 - Kvalitativní analýza exprese genů
 - Příprava transkripční fúze promotoru analyzovaného genu s reporterovým genem (gen zpravodaj)
 - Příprava translační fúze kódující oblasti analyzovaného genu s reporterovým genem
 - Využití dostupných dat ve veřejných databázích

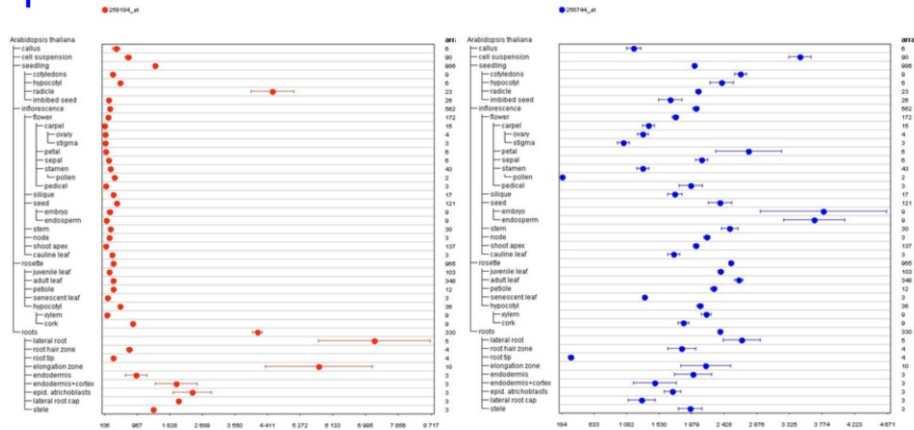


INVESTICE DO ROZVOJE VZDĚLÁVÁNÍ

Tato prezentace je spolufinancována
Evropským sociálním fondem
a státním rozpočtem České republiky

Genová exprese

- Analýza exprese pomocí Genevestigator (*AHP1* a *AHP2*, *Arabidopsis*, Affymetrix ATH 22K Array)



EVROPSKÁ UNIE



MINISTERSTVO Školství,
mládeže a tělovýchovy



DPV Vzdělávání
pro konkurenčního



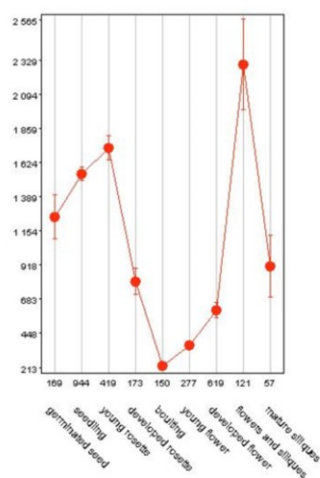
INVESTICE DO ROZVOJE VZDELAVÁNÍ

Tato prezentace je spolufinancována
Evropským sociálním fondem
a státním rozpočtem České republiky

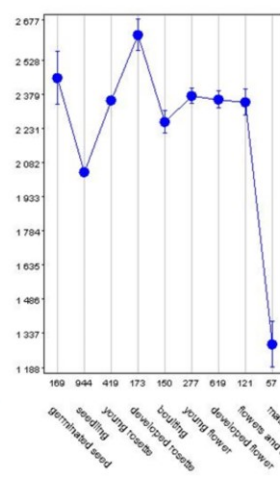
Genová exprese

- Analýza exprese pomocí Genevestigator (*AHP1* a *AHP2*, *Arabidopsis*, Affymetrix ATH 22K Array)

● 259184_st



● 256744_st



EVROPSKÁ UNIE

www.eurogenomes.org/rozvoj_vzdeleni

ROZVOJE VZDĚLÁVÁNÍ

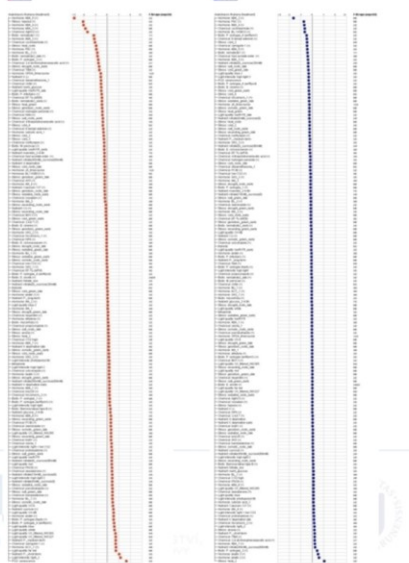
o prezentaci je spolufinancována

Evropským sociálním fondem

a smluvním rozpočtem České republiky

Genová exprese

- **Analýza exprese pomocí Genevestigator (*AHP1* a *AHP2*, *Arabidopsis*, Affymetrix ATH 22K Array)**



INVESTICE DO ROZVOJE VZDĚLÁVÁNÍ

Tato prezentace je spolufinancována
Evropským sociálním fondem
a státním rozpočtem České republiky



Osnova

- Metody analýzy genové exprese
 - Kvalitativní analýza exprese genů
 - Příprava transkripční fúze promotoru analyzovaného genu s reporterovým genem (gen zpravodaj)
 - Příprava translační fúze kódující oblasti analyzovaného genu s reporterovým genem
 - Využití dostupných dat ve veřejných databázích
 - **Tkáňově a buněčně specifická analýza genové exprese**

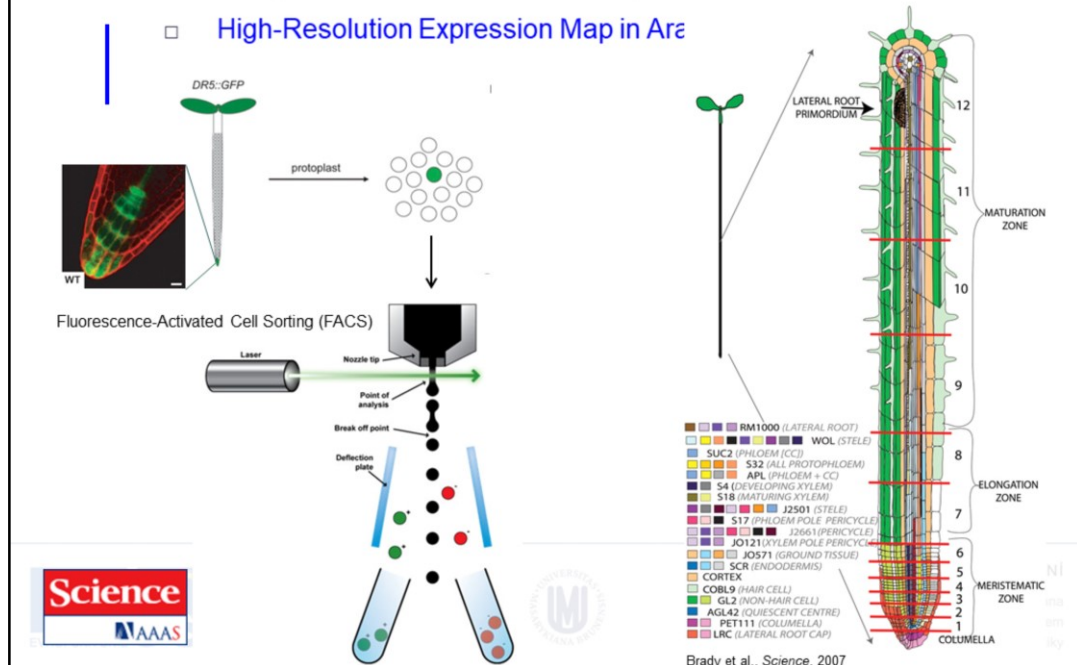


INVESTICE DO ROZVOJE VZDĚLÁVÁNÍ

Tato prezentace je spolufinancována
Evropským sociálním fondem
a státním rozpočtem České republiky

Expression Maps - RNA

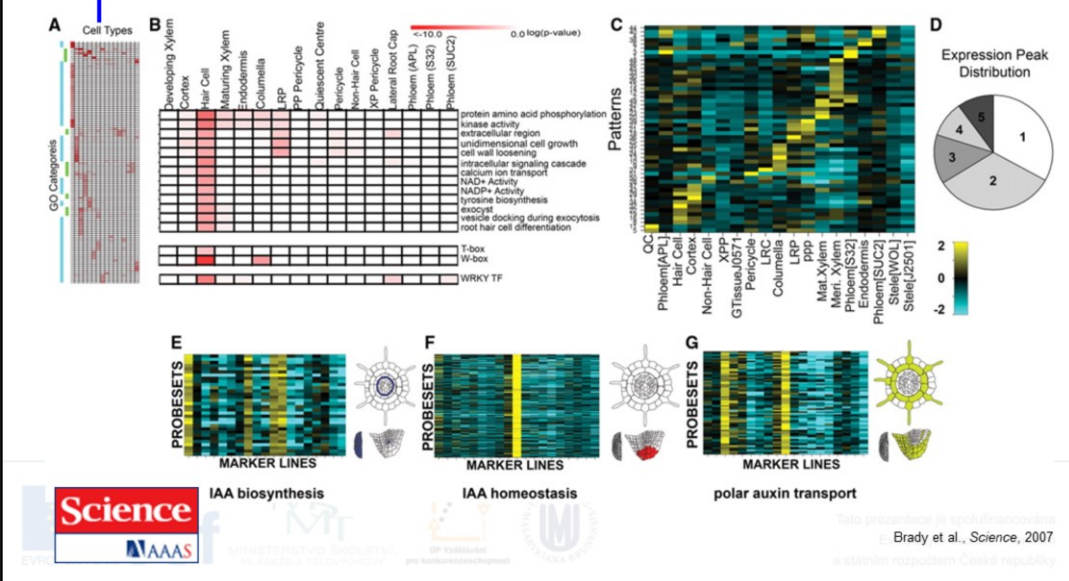
□ High-Resolution Expression Map in Arabidopsis Root



Microarray expression profiles of 19 fluorescently sorted GFP-marked lines were analyzed (3–9, 23, 24). The colors associated with each marker line reflect the developmental stage and cell types sampled. Thirteen transverse sections were sampled along the root's longitudinal axis (red lines) (10). CC, companion cells.

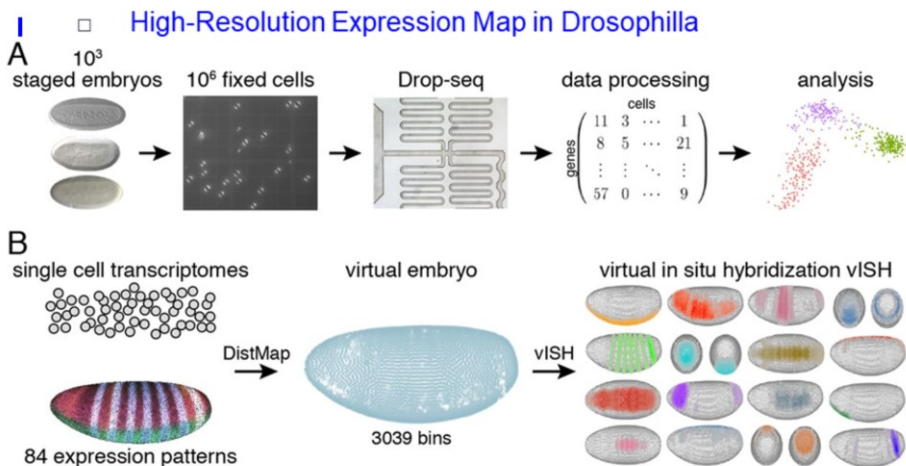
Expression Maps - RNA

□ High-Resolution Expression Map in Arabidopsis Root



(A) The majority of enriched GO terms (hierarchically clustered) are associated with individual cell types (blue bar). A smaller number are present across multiple cell types (green bar). (fig. S2) **(B)** GO category enrichment for hair cells confirms a previous report (15). Enriched cis-elements and an enriched TF family were also identified. **(C)** From the top 50% of varying probe sets, 51 dominant radial patterns were identified. Pattern expression values were mean-normalized (rows) and \log_2 transformed to yield relative expression indices for each marker line (columns). Marker line order is the same for all figures; see table S1 for marker line abbreviations. **(D)** Pattern expression peaks were found across one to five cell types. **(E to G)** Patterns where expression is enriched in single and multiple cell types support transcriptional regulation of auxin flux and synthesis. In all heat maps with probe sets, expression values were mean-normalized and \log_2 transformed. Expression is false-colored in representations of a root transverse section, a cut-away of a root tip, and in a lateral root primordium. (E) Auxin biosynthetic genes (*CYP79B2*, *CYP79B3*, *SUPERROOT1*, and *SUPERROOT2*) are transcriptionally enriched in the QC, lateral root primordia, pericycle, and phloem-pole pericycle ($P = 1.99E^{-11}$, pattern 5). All AGI identifiers and TAIR descriptions are found in table S14. (F) Auxin amido-synthases *GH3.6* and *GH3.17* that play a role in auxin homeostasis show enriched expression in the columella, just below the predicted auxin biosynthetic center of the QC ($P = 8.82E^{-4}$, pattern 13). (G) The expression of the auxin transporter, *PIN-FORMED2*, and auxin transport regulators (*PINOID*, *WAG1*) are enriched in the columella, hair cells, and cortex ($P = 1.03E^{-4}$, pattern 31).

Expression Maps - RNA



Nikos Karaiskos et al. Science 2017;science.aan3235



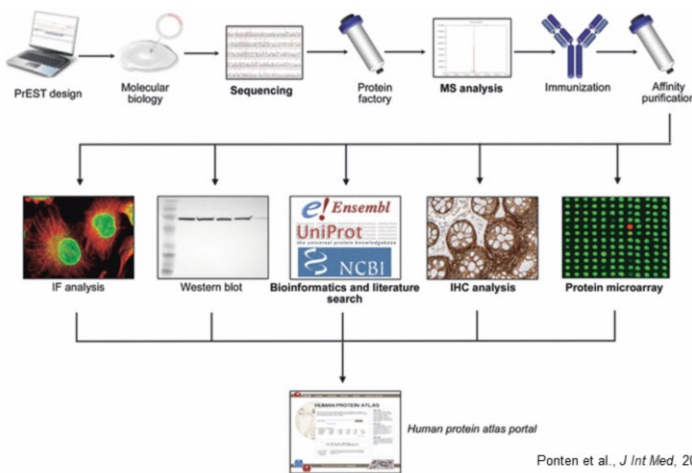
INVESTICE DO ROZVOJE VZDĚLÁVÁNÍ

Tato prezentace je vydána na základě
Brady et al., Science, 2007
a s těmto rozpočtem České republiky

(A) The majority of enriched GO terms (hierarchically clustered) are associated with individual cell types (blue bar). A smaller number are present across multiple cell types (green bar). (fig. S2) **(B)** GO category enrichment for hair cells confirms a previous report (15). Enriched cis-elements and an enriched TF family were also identified. **(C)** From the top 50% of varying probe sets, 51 dominant radial patterns were identified. Pattern expression values were mean-normalized (rows) and log₂ transformed to yield relative expression indices for each marker line (columns). Marker line order is the same for all figures; see table S1 for marker line abbreviations. **(D)** Pattern expression peaks were found across one to five cell types. **(E to G)** Patterns where expression is enriched in single and multiple cell types support transcriptional regulation of auxin flux and synthesis. In all heat maps with probe sets, expression values were mean-normalized and log₂ transformed. Expression is false-colored in representations of a root transverse section, a cut-away of a root tip, and in a lateral root primordium. (E) Auxin biosynthetic genes (*CYP79B2*, *CYP79B3*, *SUPERROOT1*, and *SUPERROOT2*) are transcriptionally enriched in the QC, lateral root primordia, pericycle, and phloem-pole pericycle ($P = 1.99E^{-11}$, pattern 5). All AGI identifiers and TAIR descriptions are found in table S14. (F) Auxin amido-synthases *GH3.6* and *GH3.17* that play a role in auxin homeostasis show enriched expression in the columella, just below the predicted auxin biosynthetic center of the QC ($P = 8.82E^{-4}$, pattern 13). (G) The expression of the auxin transporter, *PIN-FORMED2*, and auxin transport regulators (*PINOID*, *WAG1*) are enriched in the columella, hair cells, and cortex ($P = 1.03E^{-4}$, pattern 31).

Expression Maps - Proteins

□ Human Protein Atlas



Ponten et al., *J Int Med*, 2011



INVESTICE DO ROZVOJE Vzdělávání

Tato prezentace je spolufinancována
Evropským sociálním fondem
a státním rozpočtem České republiky

Schematic flowchart of the Human Protein Atlas. For each gene, a signature sequence (PrEST) is defined from the human genome sequence, and following RT-PCR, cloning and production of recombinant protein fragments, subsequent immunization and affinity purification of antisera results in immunospecific antibodies. The produced antibodies are tested and validated in various immunoassays. Approved antibodies are used for protein profiling in cells (immunofluorescence) and tissues (immunohistochemistry) to generate the images and protein expression data that are presented in the Human Protein Atlas (Ponten et al., *J Int Med*, 2011).

Expression Maps - Proteins

- Human Protein Atlas
(<http://www.proteinatlas.org/>)

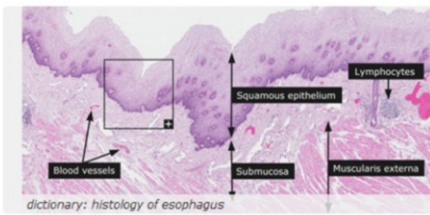
THE HUMAN PROTEIN ATLAS

ABOUT & HELP

SEARCH ? »

e.g. CD44, ELF3, KLK3, or use Fields to search specific fields such as protein_class:Transcription factors or chromosome:X

[Fields >](#)



News

Protein evidence according to Fagerberg et al is summarized in the chromosome progress diagram.

Version: 11.0
Atlas updated: 2013-03-11
[release history](#)

15156 genes with protein expression profiles based on 18707 antibodies.



Knut & Alice
Wallenberg
Stiftelse

The Human Protein Atlas project is funded by the Knut & Alice Wallenberg foundation.

MINISTERSTVO Školství,
mládeže a tělovýchovy

OP Vaříšek
pro konkurenčnost



ROJE VZDĚLÁVÁNÍ

Státoč je spolufinancována
zprávým sociálním fondem
a státním rozpočtem České republiky

Expression Maps - Proteins

- Human Protein Atlas
(<http://www.proteinatlas.org/>)

The screenshot displays the Human Protein Atlas interface. At the top left is a fluorescence microscopy image showing green nuclei and red cytoplasmic staining. To its right is a 'SUBCELLULAR LOCATION SUMMARY' panel with details: Main location(s) Nucleus but not nucleoli; Additional location(s) Localized to the nucleus but excluded from the nucleolus; Staining summary High; Reliability (APE) High; Antibodies in assay CAB029238, CAB039239. Below this is a 'NORMAL TISSUE & ORGAN SUMMARY' panel showing expression across various tissues. A bar chart indicates the number of cell types expressing the protein in different organs. The organs listed include CNS (brain), Hematopoietic (blood), Liver and pancreas, Digestive (GI-tract), Respiratory (lung), Cardiovascular, Female tissues, Placenta, Male tissues, Urinary tract (kidney), Skin and soft tissues, and Endocrine tissues.

Organ	No. of cell types	Protein expression
CNS (brain)	11	High
Hematopoietic (blood)	8	Medium
Liver and pancreas	5	Low
Digestive (GI-tract)	13	Medium
Respiratory (lung)	4	Very Low
Cardiovascular	1	Very Low
Female tissues	13	High
Placenta	2	Medium
Male tissues	5	Medium
Urinary tract (kidney)	3	Medium
Skin and soft tissues	14	Medium
Endocrine tissues	3	Very Low

Osnova

- Metody analýzy genové exprese
 - Kvalitativní analýza exprese genů
 - Příprava transkripční fúze promotoru analyzovaného genu s reporterovým genem (gen zpravodaj)
 - Příprava translační fúze kódující oblasti analyzovaného genu s reporterovým genem
 - Využití dostupných dat ve veřejných databázích
 - Tkáňově a buněčně specifická analýza genové exprese
 - Kvantitativní analýza exprese
 - DNA a proteinové čipy



INVESTICE DO ROZVOJE VZDĚLÁVÁNÍ

Tato prezentace je spolufinancována
Evropským sociálním fondem
a státním rozpočtem České republiky

DNA Chips

▪ DNA čipy

- metoda umožňující rychlé porovnání velkého množství genů/proteinů mezi testovaným vzorkem a kontrolou
- nejčastěji jsou používané oligo DNA čipy
- k dispozici komerčně dostupné sady pro celý genom
 - firma Operon (Qiagen), 29.110 70-mer oligonukleotidů reprezentujících 26.173 genů kódujících proteiny, 28.964 transkriptů a 87 microRNA genů *Arabidopsis thaliana*
 - možnost používat pro přípravu čipů fotolitografické techniky-usnadnění syntézy oligonukleotidů např. pro celý genom člověka (cca $3,1 \times 10^9$ bp) je touto technikou možno přípravit 25-mery v pouze 100 krocích)



- čipy nejen pro analýzu exprese, ale např. i genotypování (SNP polymorfizmy, sekvenování pomocí čipu, ...)

Critical Specifications	
Number of arrays	One
Number of sequence represented	>24,000 gene sequences
Feature size	18 µm
Oligonucleotide probe length	25-mer
Probe pair/sequence	11
Control sequences	<i>E. coli</i> genes <i>bioB</i> , <i>bioC</i> , <i>bioD</i> , <i>B. subtilis</i> gene <i>lysA</i> , Phage P1 <i>cro</i> gene, <i>Arabidopsis</i> maintenance genes <i>GAPDH</i> , <i>Ubiquitin</i> , and <i>Actin</i>
Detection sensitivity	1:100,000*

*As measured by detection in comparative analysis between a complex target containing spiked control transcriptions and a complex target with no spikes.



DNA Chips

▪ DNA čipy, analýza výsledků

- pro správnou interpretaci výsledků je nutná dobrá znalost pokročilých statistických metod
- je nutné zahrnout dostatečný počet kontrol i opakování
- kontrola na přesnost měření (opakování měření na několika čipech se stejným vzorkem, vynesení stejných vzorků analyzovaných na různých čipech proti sobě)
- kontrola reproducibility měření (opakování měření s různými vzorky, izolovanými za stejných podmínek na stejném čipu-stejné podmínky proti sobě)
- identifikace hranice spolehlivého měření
- konečně vynesení experimentu proti kontrole nebo různých podmínek proti sobě – vlastní výsledek

TAIR Home | About TAIR | Bitemap | Contact | Help | Order | Log in Search | Tools | Arabidopsis Info | News | Links | FTP | Stocks Gene Search

Expression of 195M6T7 in response to chemical treatment

Experiment: Aluminum Stress

Slide Details	Sample	Experimental variables	Label
HoekengaS7 Aluminum Stress 1 strong spatial bias	7304_Cy3.7305_Cy5	no treatment (pool of 3, 8, and 24 hours)	Cy3
HoekengaS7 Aluminum Stress 2 strong spatial bias	7304_Cy5.7305_Cy3	Aluminum (50 mM AlCl ₃ , pool of 3, 8, and 24 hours)	Cy5
	7304_Cy3.7305_Cy5	Aluminum (50 mM AlCl ₃ , pool of 3, 8, and 24 hours)	Cy3
	7304_Cy5.7305_Cy3	no treatment (pool of 3, 8, and 24 hours)	Cy5



▪ v současnosti je již velké množství výsledků různých experimentů lokalizovaných ve veřejně přístupných databázích

INVESTICE DO ROZVOJE ČR
Che et al., 2002
Tato prezentace je spolufinancována
Evropským sociálním fondem
a státním rozpočtem České republiky

Protein Chips

▪ Proteinové čipy

- čipy s vysokou denzitou obsahující řádově 10^4 proteinů
- analýza protein-proteinových interakcí, substrátů kináz a interakcí s malými molekulami
- možnost použít protilátky – stabilnější než samotné proteiny



MINISTERSTVO ŠKOLSTVÍ,
MLÁDEŽE A TĚLOVÝCHOVY



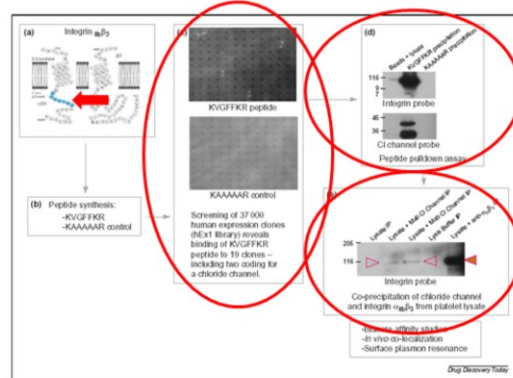
INVESTICE DO ROZVOJE VZDĚLÁVÁNÍ

Tato prezentace je spolufinancována
Evropským sociálním fondem
a státním rozpočtem České republiky

Protein Chips

- Identifikace proteinů interagujících s cytoplasmatickou částí integrinu $\alpha_{IIb}\beta_3$ krevních destiček

- exprese cytoplasmatické části jako fúzního peptidu biotin-KVGFKKR
 - analýza vazby s proteinovým čipem obsahujícím 37.000 klonů *E.coli* exprimujících lidské rekombinantní proteiny
 - potvrzení interakce pull-down analýzou peptidů i koprecipitací celých proteinů (chloridový kanál ICln)
 - další využití např. při identifikaci substrátů kináz, kdy substráty jsou navázány na čip a vystaveny působení kináz za přítomnosti radiokaktivně značeného ATP (768 purif. proteinů ještěně, z nich 21 identifikováno jako substráty kináz CK2a, Kramer et al., 2004)



Lueking et al., 2005



 MINISTERSTVO ŠKOLSKÉ
MLÁDEŽE A TĚLOVÝCHOVY



INVESTICE DO ROZVOJE VZDĚLÁVÁNÍ

Tato prezentace je spolufinancována
Evropským sociálním fondem
a státním rozpočtem České republiky

Osnova

- Metody analýzy genové exprese
 - Kvalitativní analýza exprese genů
 - Příprava transkripční fúze promotoru analyzovaného genu s reporterovým genem (gen zpravodaj)
 - Příprava translační fúze kódující oblasti analyzovaného genu s reporterovým genem
 - Využití dostupných dat ve veřejných databázích
 - Tkáňově a buněčně specifická analýza genové exprese
 - Kvantitativní analýza exprese
 - DNA a proteinové čipy
 - Next gen transkripční profilování

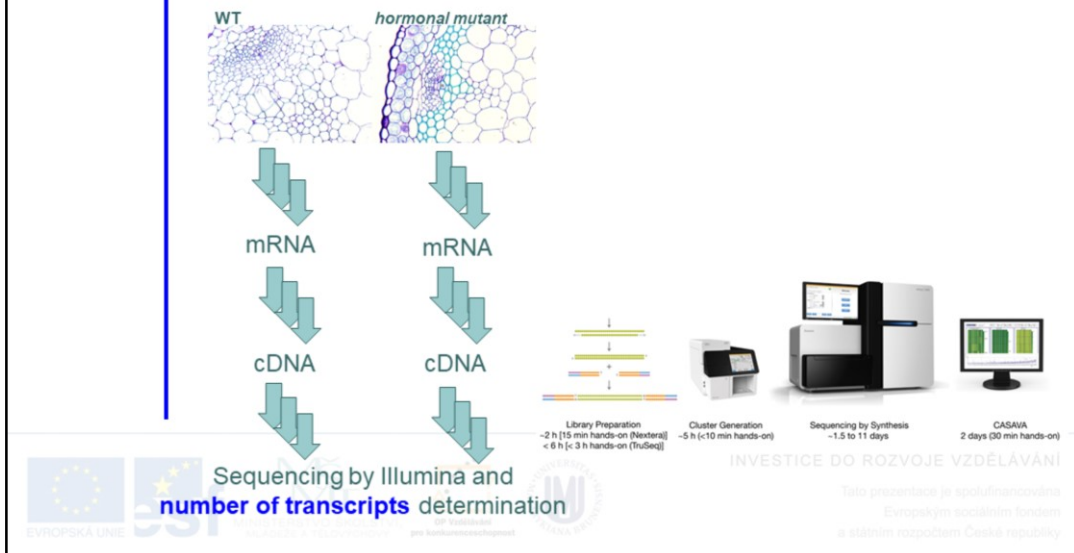


INVESTICE DO ROZVOJE VZDĚLÁVÁNÍ

Tato prezentace je spolufinancována
Evropským sociálním fondem
a státním rozpočtem České republiky

Next Gen Transcriptional Profiling

□ *Transcriptional profiling via RNA sequencing*



Results of –omics Studies vs Biologically Relevant Conclusions

- Transcriptional profiling yielded more than **7K differentially regulated genes...**

gene	locus	sample_1	sample_2	status	value_1	value_2	log2(fold_change)	test_stat	p_value	q_value	significant
AT1G07795	1:2414285-2414987	WT	MT	OK	0	1,18041.79789e+308	308	1.79789e+	6.88885e-05	0.00039180	!yes
HR51	1:4558891-4558708	WT	MT	OK	0	0.5965831.79789e+308	308	1.79789e+	4.57708e-	8.61994e-06	05 yes
ATML014	1:9227472-9232299	WT	MT	OK	0	0.5140091.79789e+308	308	1.79789e+	9.74219e-05	0.00053505	5yes
NRT1.6	1:9400663-9403789	WT	MT	OK	0	0.8778851.79789e+308	308	1.79789e+	3.2652e-08	07	yes
AT1G27570	1:9575425-9582378	WT	MT	OK	0	2.08291.79789e+308	308	1.79789e+	9.78039e-06	6.8474e-05	yes
AT1G80095	1:22159735-22162419	WT	MT	OK	0	0.6888881.79789e+308	308	1.79789e+	9.95901e-08	07	yes
AT1G03020	1:696206-598515	WT	MT	OK	0	1.788591.79789e+308	308	1.79789e+	0.00913915	0.0277958yes	
AT1G13009	1:4662720-4663471	WT	MT	OK	0	3.558141.79789e+308	308	1.79789e+	0.00021683	0.00108079yes	
AT1G21550	1:7553100-7553878	WT	MT	OK	0	0.5626881.79789e+308	308	1.79789e+	0.00115582	0.00471497yes	
AT1G22120	1:7896308-7809532	WT	MT	OK	0	0.5173541.79789e+308	308	1.79789e+	1.91089e-	2.48392e-06	05 yes
AT1G31370	1:11238397-11238398	WT	MT	OK	0	1.462541.79789e+308	308	1.79789e+	4.83523e-05	0.00028514	3yes
APUM10	1:13253397-1325570	WT	MT	OK	0	0.5810311.79789e+308	308	1.79789e+	5.46003e-	7.8785e-06	05 yes
AT1G48700	1:18010728-18012871	WT	MT	OK	0	0.5565251.79789e+308	308	1.79789e+	6.53917e-05	0.00037473	
AT1G58077	1:21717095-2183195	WT	MT	OK	0	138.8881.79789e+308	308	1.79789e+	0.00122789	0.00496816yes	
AT1G80050	1:22121549-22123702	WT	MT	OK	0	0.3700871.79789e+308	308	1.79789e+	0.00117853	0.0048001yes	
AT4G15242	4:8705788-8708997	WT	MT	OK	0.00930712	17.9058	10.9098	-4.405231.05673e-05	7.13983e-05	yes	
AT5G33251	5:12489977-1250433	WT	MT	OK	0.0498375	52.2837	10.0349	-5.8119	0	0	0yes
AT4G12520	4:7421055-7421738	WT	MT	OK	0.0195111	15.8516	9.66612	-3.900439.60217e-05	0.000528904	yes	
AT1G80020	1:22100651-2210278	WT	MT	OK	0.0118377	7.18823	9.24611	-7.503828.19504e-14	1.4988e-12	yes	
AT5G15380	5:4987235-4988182	WT	MT	OK	0.0988273	56.4834	9.1587	-10.4392	0	0	0yes

Example of an output of transcriptional profiling study using Illumina sequencing performed in our lab. Shown is just a tiny fragment of the complete list, comprising about 7K genes revealing differential expression in the studied mutant.

Osnova

- Metody analýzy genové exprese
 - Kvalitativní analýza exprese genů
 - Příprava transkripční fúze promotoru analyzovaného genu s reporterovým genem (gen zpravodaj)
 - Příprava translační fúze kódující oblasti analyzovaného genu s reporterovým genem
 - Využití dostupných dat ve veřejných databázích
 - Tkáňově a buněčně specifická analýza genové exprese
 - Kvantitativní analýza exprese
 - DNA a proteinové čipy
 - Next gen transkripční profilování
- Regulace genové exprese v identifikaci funkce genů

přístupy získané funkce

 - T-DNA aktivační mutageneze



INVESTICE DO ROZVOJE Vzdělávání

Tato prezentace je spolufinancována
Evropským sociálním fondem
a státním rozpočtem České republiky

Gain-of-Function Approaches

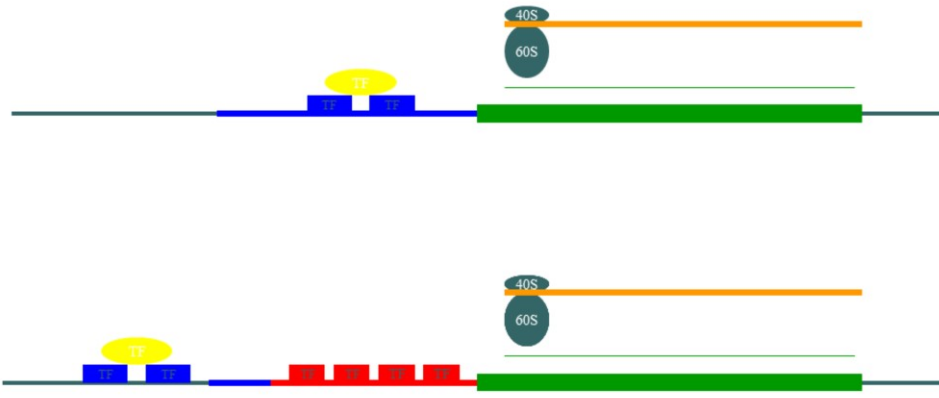
- Metody identifikace funkce genů pomocí přístupů získané funkce
 - T-DNA aktivační mutageneze
 - metoda umožňující izolaci dominantních mutantů prostřednictvím náhodné inzerce konstitutivního promotoru, vedoucí k nadměrné exprese genu a tím odpovídajícím fenotypovým změnám
 - prvním krokem je příprava mutantní knihovny připravené pomocí transformace silného konstitutivního promotoru nebo zesilovače
 - následuje vyhledávání zajímavých fenotypů
 - identifikace zasaženého genu např. pomocí plasmid-rescue



INVESTICE DO ROZVOJE VZDĚLÁVÁNÍ

Tato prezentace je spolufinancována
Evropským sociálním fondem
a státním rozpočtem České republiky

Activation Mutagenesis



MINISTERSTVO ŠKOLSTVÍ,
MLÁDEŽE A TĚLOVÝCHOVY



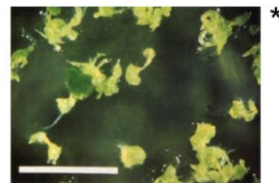
OP Vzdělávání
pro konkurenčních schopností
MASARYKIANA BRNO

INVESTICE DO ROZVOJE VZDĚLÁVÁNÍ

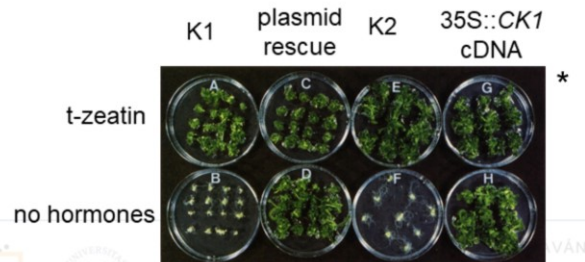
Tato prezentace je spolufinancována
Evropským sociálním fondem
a státním rozpočtem České republiky

Izolace genu *CKI1*

- Tatsuo Kakimoto, *Science* 274 (1996), 982-985 *
- izolace genu pomocí aktivační mutageneze



- mutantní fenotyp je fenokopíí exogenní aplikace cytokininů (*CKI1*, **CYTOKININ INDEPENDENT 1**)



VÁNI
Tato prezentace je spolufinancována
Evropským sociálním fondem
a státním rozpočtem České republiky



Osnova

- Metody analýzy genové exprese
 - Kvalitativní analýza exprese genů
 - Příprava transkripční fúze promotoru analyzovaného genu s reporterovým genem (gen zpravodaj)
 - Příprava translační fúze kódující oblasti analyzovaného genu s reporterovým genem
 - Využití dostupných dat ve veřejných databázích
 - Tkáňově a buněčně specifická analýza genové exprese
 - Kvantitativní analýza exprese
 - DNA a proteinové čipy
 - Next gen transkripční profilování
- Regulace genové exprese v identifikaci funkce genů přístupy získané funkce
 - T-DNA aktivační mutageneze
 - Ektopická exprese a systémy regulovatelné genové exprese



MINISTERSTVO Školství,
mládeže a tělovýchovy



Tato prezentace je spolufinancována
Evropským sociálním fondem
a státním rozpočtem České republiky

Regulated Expression Systems

- Systémy regulovatelné genové exprese
 - umožňují časovou nebo místně specifickou regulaci genové exprese, vedoucí ke změně fenotypu a tím identifikaci přirozené funkce genu
 - pOP systém



MINISTERSTVO ŠKOLSTVÍ,
MLÁDEŽE A TĚLOVÝCHOVY

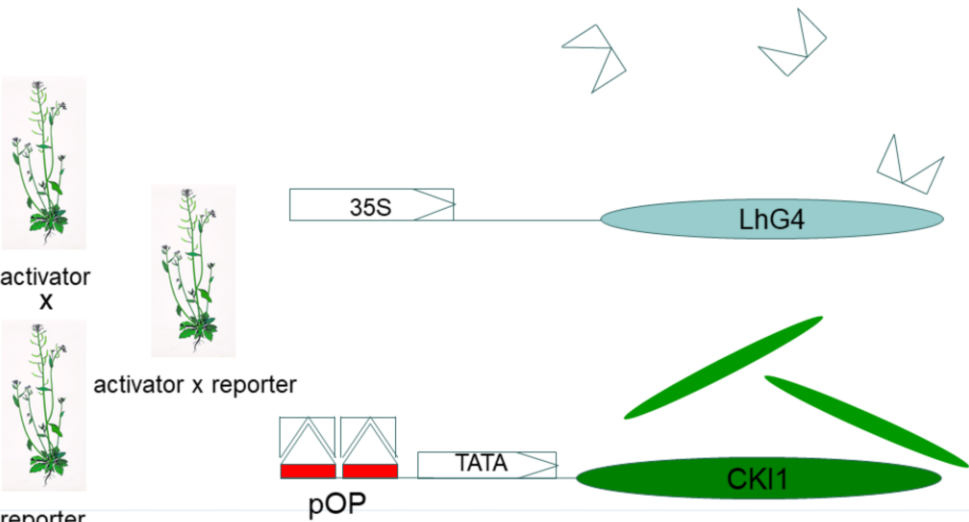


UNIVERSITAS
MASARYKIANA BRUNENSIS

INVESTICE DO ROZVOJE VZDĚLÁVÁNÍ

Tato prezentace je spolufinancována
Evropským sociálním fondem
a státním rozpočtem České republiky

Regulated Expression Systems



EVROPSKÁ UNIE
esf



MINISTERSTVO ŠKOLSTVÍ,
MLÁDEŽE A TĚLOVÝCHOVY



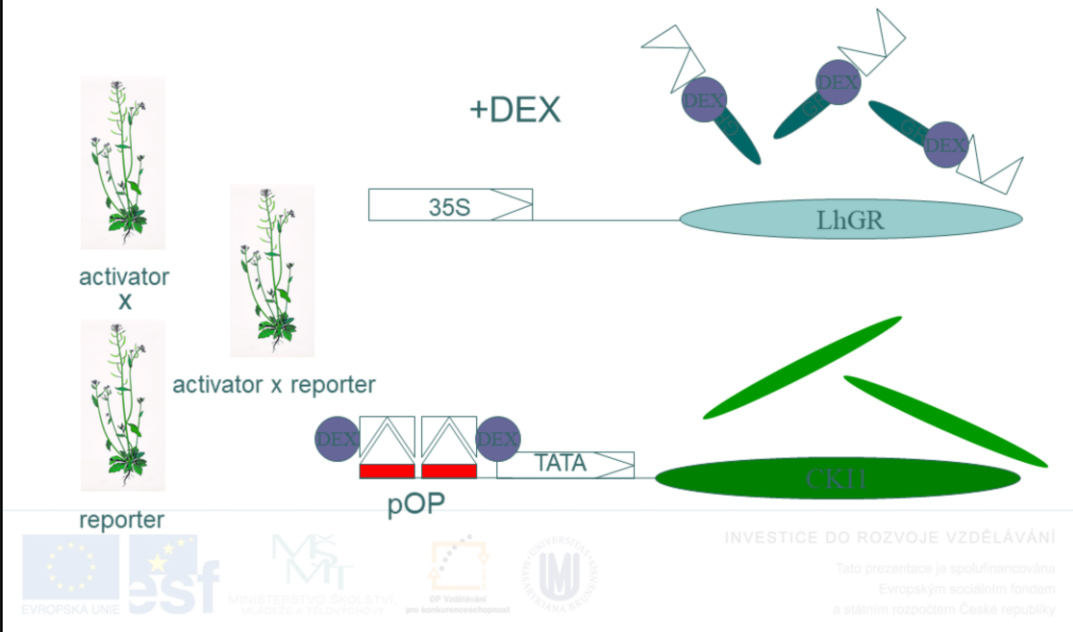
OP Vaříček
pro konkurenčnost



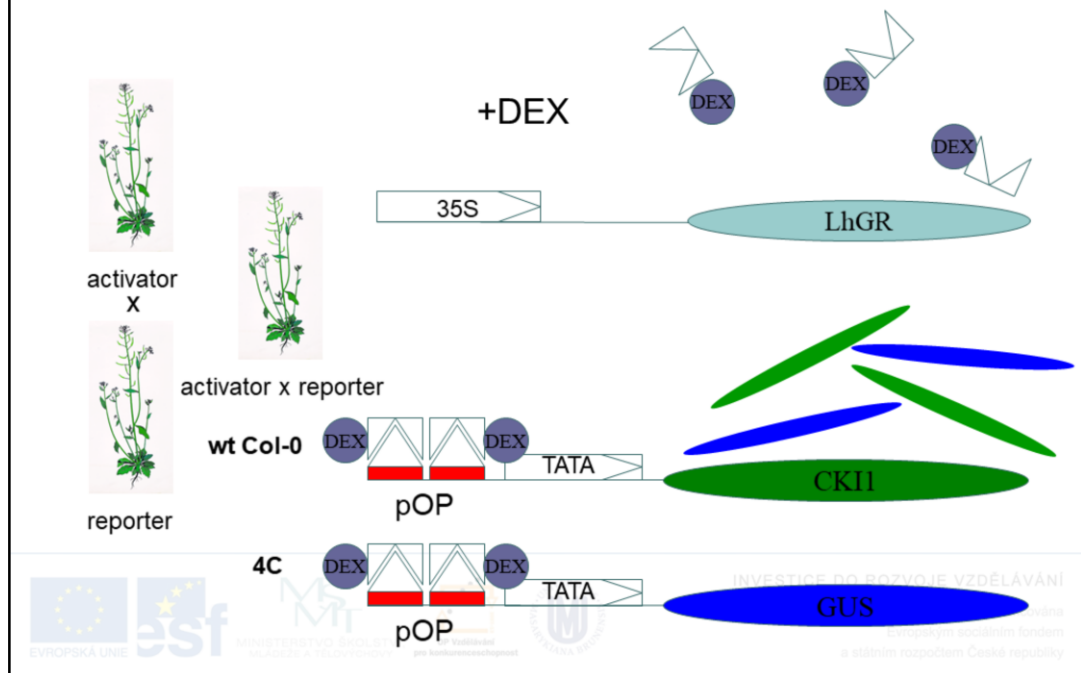
INVESTICE DO ROZVOJE Vzdělávání

Tato prezentace je spolufinancována
Evropským sociálním fondem
a státním rozpočtem České republiky

Regulated Expression Systems



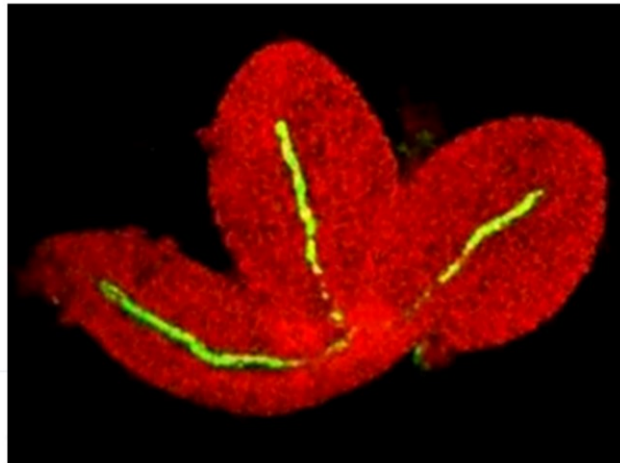
Regulated Expression Systems



Regulated Expression Systems

- Systémy regulovatelné genové exprese

- umožňují časovou nebo místně specifickou regulaci genové exprese, vedoucí ke změně fenotypu a tím identifikaci přirozené funkce genu
 - pOP systém
 - UAS systém



MINISTERSTVO Školství,
mládeže a tělovýchovy

pro konkurenčnost

a státním rozpočtem České republiky

Osnova

- Metody analýzy genové exprese
 - Kvalitativní analýza exprese genů
 - Příprava transkripční fúze promotoru analyzovaného genu s reporterovým genem (gen zpravodaj)
 - Příprava translační fúze kódující oblasti analyzovaného genu s reporterovým genem
 - Využití dostupných dat ve veřejných databázích
 - Tkáňově a buněčně specifická analýza genové exprese
 - Kvantitativní analýza exprese
 - DNA a proteinové čipy
 - Next gen transkripční profilování
- Regulace genové exprese v identifikaci funkce genů
přístupy získané funkce
 - T-DNA aktivační mutageneze
 - Ektopická exprese a systémy regulovatelné genové exprese



Tato prezentace je spolufinancována
Evropským sociálním fondem
a státním rozpočtem České republiky

Chemical Genetics

■ Nové trendy

- chemická genetika
- pojem **chemická genetika** – více než **50.000/89.631** záznamů v databázi PubMed (16.10. 2008/29.10. 2015, nárůst 65%)

The screenshot shows the PubMed search interface with the query 'chemical genetics'. The results page displays 50,407 items, with the first few entries listed:

- 1: Ingelwijk L, Matsuda K, Goyvaerts H, Janssens RA, Pauwels L, Leake G, Boule J, Goyvaerts N.** Single Molecule Studies of Multiple Fluorophore Labeled Antibodies: Effect of Homo-FRET on the Number of Photons Available Before Photobleaching. *Curr Pharm Biotechnol*. 2008 Oct;9(4):11-20. PMID: 18835193 [PubMed - as supplied by publisher]
- 2: Polak T, Olay M, Iacob Y, Pohl A.** Five cases of beta-ureidopropionate deficiency detected by GC/MS analysis of urine metabolome. *J Mass Spectrosc*. 2008 Oct;11. [PubMed - as supplied by publisher] PMID: 18835177 [PubMed - as supplied by publisher]
- 3: Zhou M, Peacock NC, Inaki K, Wu H.** A conserved C-terminal thirteen amino acid motif of Gα p_1 is required for the Gα p_1 function and necessary for biogenesis of a serine-rich glycoprotein of *S. enterica* paratyphi. *Infect Immun*. 2008 Oct;76(10):4796-803. [PubMed - as supplied by publisher] PMID: 18832149 [PubMed - as supplied by publisher]

Below the search bar, there are logos for the European Union, the Czech Ministry of Education, Culture, Sports and Youth, and the Operational Program for the Development of Regional Innovation Systems.

E DO ROZVOJE VZDĚLÁVÁNÍ
Tato prezentace je spolufinancována
Evropským sociálním fondem
a státním rozpočtem České republiky

Chemical Genetics

■ Nové trendy

- chemická genetika
- pojem **chemická genetika** – více než **50.000/82.357** záznamů v databázi PubMed (16.10. **2008**/23.10. **2014**, nárůst 65%)
- podobně jako v případě genetiky, existují i zde přístupy „**přímé**“ a „**reverzní**“
- oproti přístupům „klasické“ genetiky není **předmětem zájmu** gen ale **protein**
- chemická genetika se snaží identifikovat buď **cílový protein** po chemickém působení a následných fenotypových změnách („**přímá**“ chemická genetika) nebo naopak **chemikálie schopné interakce s proteinem zájmu** („**reverzní**“ chemická genetika)
- za tímto účelem jsou prováděna **vyhledávání v knihovnách** nejrůznějších **chemických látek** (tisíce položek, komerčně přístupné)
- příklad: **analýza endomembránového transportu** u rostlin



MINISTERSTVO ŠKOLSTVÍ,
MLÁDEŽE A TĚLOVÝCHOVY



OP Vaříškůvka
pro konkurenčnost



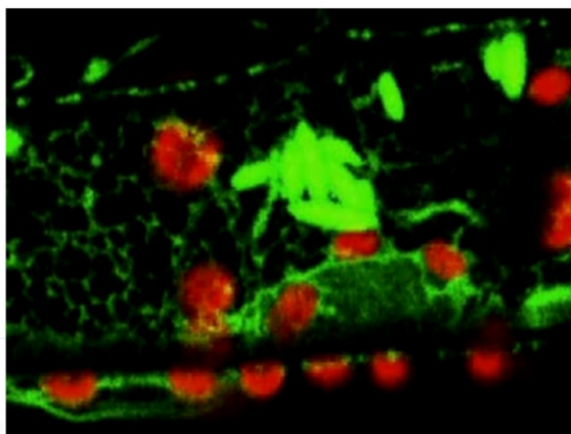
UNIVERSITET
M. T. VAŘÍŠKA

INVESTICE DO ROZVOJE Vzdělávání

Tato prezentace je spolufinancována
Evropským sociálním fondem
a státním rozpočtem České republiky

Chemical Genetics

- Analýza mechanismů endomembránového transportu přístupy chemické genetiky
 - v rostlinných buňkách dochází k velice dynamickým procesům, zprostředkovávaným zejména tzv. endomembránovým transportem (viz film, GFP směřované do ER)



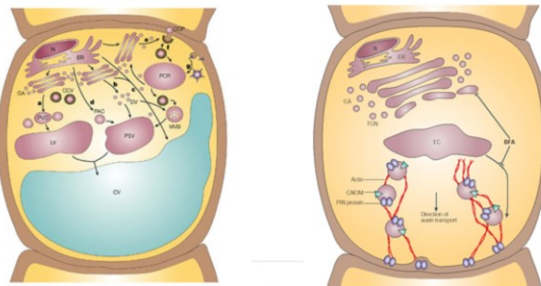
O ROZVOJE Vzdělávání

Úložné prezentace je spolufinancována
Evropským sociálním fondem
státním rozpočtem České republiky



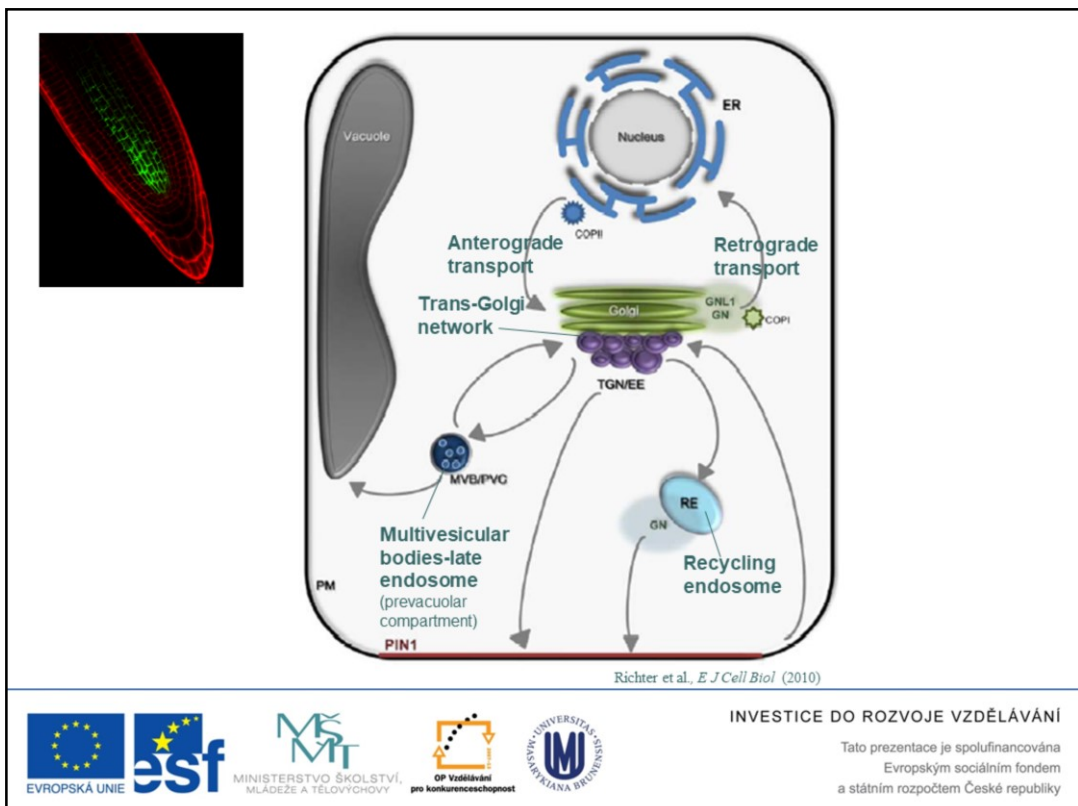
Chemical Genetics

- Analýza mechanismů endomembránového transportu přístupy chemické genetiky
 - v rostlinných buňkách dochází k velice dynamickým procesům, zprostředkovávaným zejména tzv. endomembránovým transportem (viz film, GFP směřované do ER)
 - endomembránový transport je důležitým regulačním mechanismem při přenosu signálu a regulaci buněčných procesů



J. ROZVOJE Vzdělávání

Tato prezentace je spolufinancována
Evropským sociálním fondem
a státním rozpočtem České republiky



In the figure, there is simplified scheme of vesicle trafficking pathways, regulated by GNOM and its closest relative, GNOM-LIKE1 (GNL1).

Secretory and membrane proteins are synthesised at the ER (blue) and passed onto the Golgi apparatus (green) by anterograde trafficking in COPII-coated vesicles.

The retrograde route from the Golgi apparatus to the ER is regulated by the ARF-GEFs GNOM (GN) and GNL1, which regulate the recruitment of COPI coats to the Golgi membrane. On the secretory route, proteins are transported to the sorting station, the trans-Golgi network (TGN; lilac).

From there, proteins are either transported to the vacuole (grey) via multivesicular bodies (MVB, also called prevacuolar compartment, PVC, which corresponds to the late endosome; deep blue) or trafficked to the plasma membrane (PM).

Plasma membrane proteins like the auxin efflux carrier PIN1 (red), which accumulates at the basal PM at steady state, are continually internalised and trafficked to the TGN, which resembles the early endosome (EE) in plants.

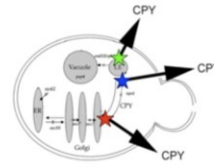
From the TGN, PIN1 is recycled to the plasma membrane via the recycling endosome (RE; light blue). This pathway is regulated by the ARF-GEF GNOM.

Chemical Genetics

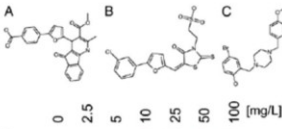
- Analýza mechanismů endomembránového transportu přístupy chemické genetiky

- pomocí vyhledávání v „knihovně“ chemických látek byly identifikovány takové, které vedou u kvasinek (*S. cerevisiae*) k sekreci enzymu (karboxipeptidázy Y), která je normálně transportována pomocí endomembránového transportu do vakuoly
 - = analýza změny sekrece pomocí dot-blotu a imunodetekce karboxipeptidázy Y v kultivačním médiu pomocí monoklonálních protilátek

chemická struktura sortinů

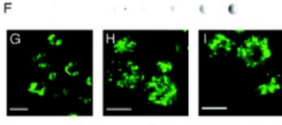


detekce vakuolárního fenotypu (tvaru tonoplastu)
kvasinek pomocí barvení specifickou barvou (MDY-64)



0 2.5 5 10 25 50 100 [mg/L]

Imunodetekce karboxypeptidázy



ELÁVÁNÍ

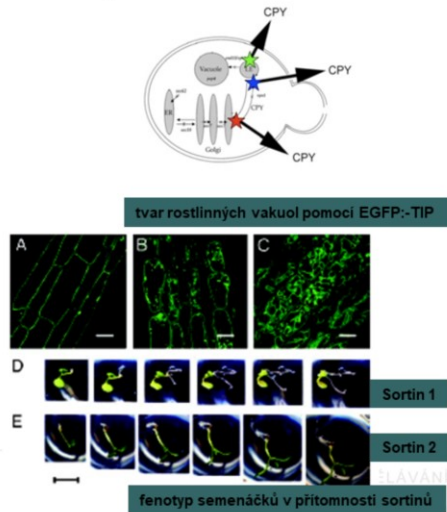
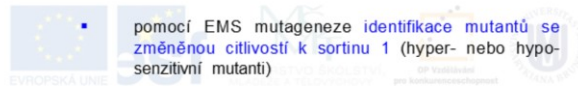
Tato prezentace je spolufinancována
Zouhar et al., 2004
a státním rozpočtem České republiky



Chemical Genetics

- Analýza mechanismů endomembránového transportu přístupy chemické genetiky

- pomocí vyhledávání v „knihovně“ chemických látek byly identifikovány takové, které vedou u kvasinek (*S. cerevisiae*) k sekreci enzymu (karboxipeptidázy Y), která je normálně transportována pomocí endomembránového transportu do vakuoly
 - = analýza změny sekrece pomocí dot-blotu a imunodetekce karboxipeptidázy Y v kultivačním médiu pomocí monoklonálních protitlátka
- identifikované látky („sortiny“) byly schopny vyvolat obdobné změny i u *Arabidopsis* - konzervované mechanismy transportu u kvasinek i u rostlin
- pro bližší identifikaci molekulárního procesu ovlivněného jedním z identifikovaných „sortinů“ byla provedena analýza jeho vlivu na sekreci markerového proteinu (AtCPY) – sortin 1 inhibuje specificky pouze tu sekreční cestu

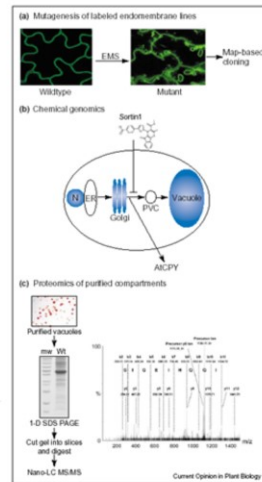


Zouhar et al., 2004
Zdroj: Zdroj: Římský et al., 2004
a statním rozpočtem České republiky

Chemical Genetics

■ Analýza mechanismů endomembránového transportu pomocí chemické genetiky - shrnutí

- GFP::d-TIP značení mebrány vakuoly (tonoplastu) a identifikace mutací vedoucí ke změně morfologie tonoplastu
- chemická genetika v kombinaci s klasickou genetikou - identifikace proteinů zúčastňujících se regulace endomembránového transportu
- proteomické přístupy – identifikace a analýza proteomu vakuol



/ZDĚLÁVÁNÍ
spolufinancována
socitním fondem
a statním rozpočtem České republiky



MINISTERSTVO Školství, mládeže a tělovýchovy
DP Vzdělávání pro konkurenčnost



Diskuse



EVROPSKÁ UNIE



MINISTERSTVO ŠKOLSTVÍ,
MLÁDEŽE A TĚLOVÝCHOVY



INVESTICE DO ROZVOJE VZDĚLÁVÁNÍ

Tato prezentace je spolufinancována
Evropským sociálním fondem
a státním rozpočtem České republiky